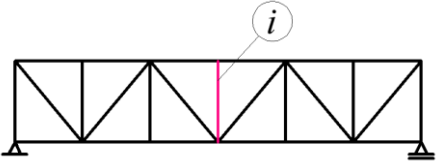
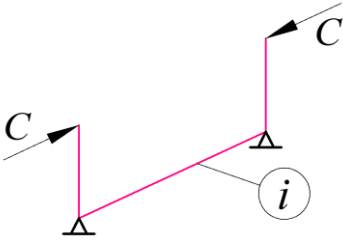
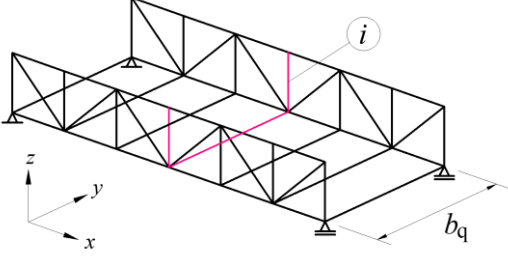
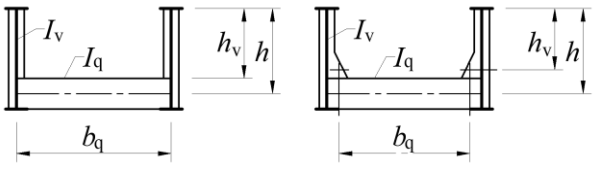
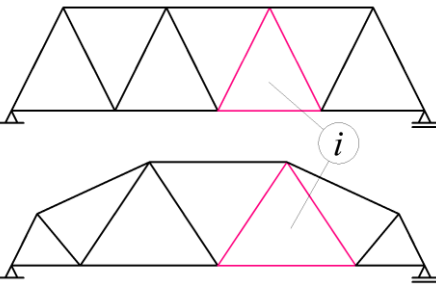
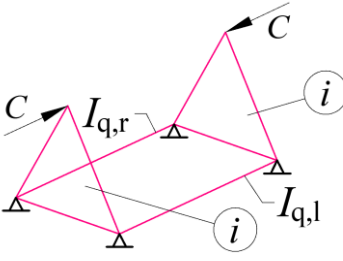
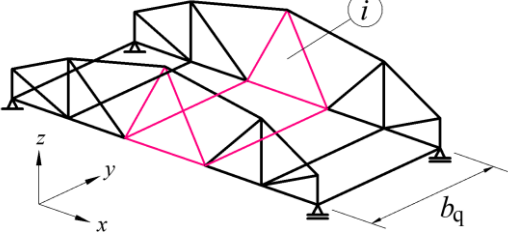
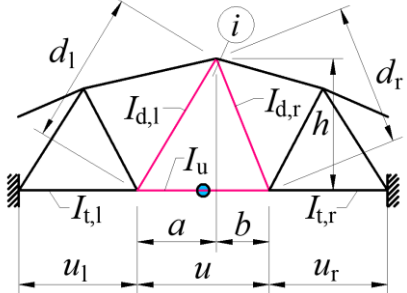


Tabulka D.3 – Příčná tuhost C_d pro příhradové nosníky

	1	2
1	 <p>Příklad příhradového mostu se svislicemi</p>	 <p>U-rám příhradového mostu se svislicemi</p>
1a	 <p>Modelování</p>	 $C = \frac{EI_v}{\frac{h_v^3}{3} + \frac{h^2 b_q I_v}{2I_q}}$
2	 <p>Příklad příhradového mostu bez svislic</p>	 <p>2U-rám příhradového mostu bez svislic</p>
2a	 <p>Modelování</p>	 <p>● kloubové uložení v kroucení</p> <p>Poznámka: dolní pás U-rámu pouze s ohybovou tuhostí I_u přilehlé dolní pásy pouze s tuhostí v prostém kroucení I_t</p>
2b	<p>Pérová tuhost</p> $C = \frac{A + B - 2D}{AB - D^2} EI_u$	
2c	$A = \frac{h^2 I_u}{n_l} + \frac{d_l^3 I_u}{3I_{d,l}} + \frac{a^2 u}{3}$ $B = \frac{h^2 I_u}{n_r} + \frac{d_r^3 I_u}{3I_{d,r}} + \frac{b^2 u}{3}$ $D = \frac{1}{6} abu$ <p>Délky d_l, d_r, a, b, u, b_q</p> <p>Délky u_l, u_r</p> <p>$EI_{d,l}, EI_{d,r}, EI_u$</p> <p>$EI_{q,l}, EI_{q,r}$</p> <p>$GI_{t,l}, GI_{t,r}$</p>	$n_l = \frac{2}{b_q} I_{q,l} + \frac{GI_{t,l}}{Eu_l}$ $n_r = \frac{2}{b_q} I_{q,r} + \frac{GI_{t,r}}{Eu_r}$ <p>Ize v případě vetknutí v ohybu z roviny nosníku redukovat</p> <p>Ize redukovat v případě, že konce jsou tuhé v kroucení</p> <p>ohybová tuhost diagonál a dolních pásů pro ohyb z roviny nosníku</p> <p>ohybová tuhost příčníků, které jsou součástí příčného polorámu</p> <p>St. Venantova tuhost v kroucení přilehlých dolních pásů nosníku</p>